



# UV-LED SMD 製品の 熱設計について

目次
1. 概要2
2. UV-A製品例 NVSU233Cx
2.1 T」算出方法2
2.2 T <sub>s</sub> ポイント2
2.3 放熱構成とT」測定結果2
3. UV-B,UV-C製品例 NCSU434D(U280)
3.1 T」算出方法2
3.2 T <sub>s</sub> ポイント2
3.3 放熱構成とT」測定結果2
4. 注意事項7
5. まとめ7

本書内に記載する型番 NVSU233C、NVSU233C-D4、および NCSU434D は弊社製品の型番であり、商標権を有する可能性のある他社製品といかなる関連性・類似性を有するものではありません。



### 1. 概要

LED は発熱の影響で光出力が低下します。また最大ジャンクション温度 T<sub>JMAX</sub>を超過して駆動すると信頼性を大きく損ないます。高性能で信頼性良くご使用いただくためには、ジャンクション温度 T<sub>J</sub>が T<sub>JMAX</sub>を超えないように放熱設計することが重要です。

本資料では UV-A 製品の例として NVSU233Cx、UV-B および UV-C 製品の例として NCSU434C を異なるヒートシンクで駆動させたときの T」について記載しています。熱設計の参考にしてください。

### 2. UV-A 製品例 NVSU233Cx

#### 2.1 TJ算出方法

T」算出には、以下の式を用いております。

 $T_J = T_S + R_{\theta JS} \times W$ 

T<sub>3</sub>: ジャンクション温度 (°C)
T<sub>5</sub>: はんだ接合部温度 (°C)

 $R_{\theta JS}$ : チップから  $T_S$  測定ポイントまでの熱抵抗 (°C/W)

W: 投入電力(W) = I<sub>F</sub>(A) × V<sub>F</sub>(V)

#### 製品仕様を以下に示します。

項目	条件			NVS	IVSU233C	−D4			
7,1	***	U365 U385				U395		U405	
		標準	最大	標準	最大	標準	最大	標準	最大
R <sub>θ JS</sub> (°C/W)	_	3.9	5.7	3.9	5.7	3.9	5.7	3.9	5.7
V <sub>F</sub> (V)	$I_F = 1000 \text{mA}$	3.85	-	3.70	_	3.65	-	3.60	_

以下計算にはReus は最大値を用いることによって、余裕をもった設計が可能になります。

#### 絶対最大定格(T<sub>S</sub>=25℃)

$I_{FMAX}(mA)$	1400
$I_{FPMAX}(mA)$	2000
T <sub>opr</sub> (°C)	-10 <b>~</b> 85
T <sub>JMAX</sub> (°C)	130

I<sub>F</sub>: 順電流 (mA)

I<sub>P</sub>: パルス順電流 (mA)

Iff 条件は、パルス幅 10ms 以下、デューティー比は 10%以下

T<sub>oor</sub>:動作温度(℃)

### 1500 1200 (VE) 900 規模 600 初本 300 0 20 40 60 80 100 120 T<sub>S</sub>(℃)

図1 Ts-許容順電流特性

#### 2.2 Tsポイント

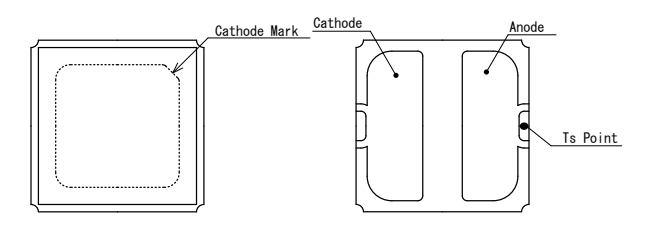


図 2 Ts測定ポイント(NVSU233C)

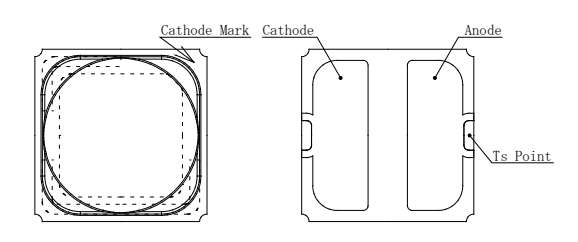


図 3 T<sub>s</sub> 測定ポイント(NVSU233C-D4)

This document contains tentative information, Nichia may change the contents without notice.



#### 2.3 放熱構成とT」測定結果

実装基板にLEDを1個搭載し、2種類の放熱構成で駆動した場合のT」を確認します。

#### 2.3-1. 放熱構成 LED1 個搭載基板+ヒートシンク A

実装基板の仕様を以下に示します。

銅箔	絶縁層	銅ベース	外形寸法
(mm)	(mm)	(mm)	(mm)
0.105	0.120	1.5	30×30

銅箔及び銅ベースの熱伝導率は390 W/m・K、絶縁層の熱伝導率は4.5 W/m・K





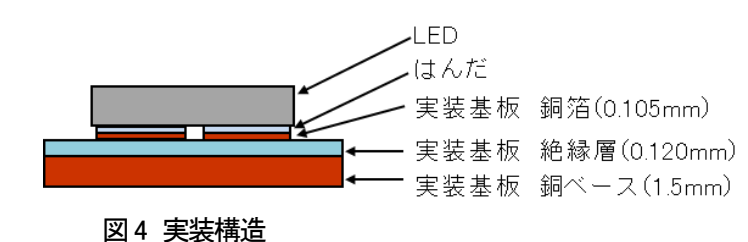


写真1

写真 2

実装状態(NVSU233C) 実装状態(NVSU233C-D4)

ヒートシンクAの仕様を以下に示します。

ヒートシンク	ートシンク 材料 サイズ(mm)		ベース厚		フィン			
レートシング	1/1 ለት	サイス(mm)	(mm)	枚数	サイズ(mm)	配列	(°C/W)	
Α	アルミ	$50 \times 38 \times t25$	5	8	1 × 38	8 × 1	5.7	

放熱グリスの熱伝導率は5.3 W/m・K

#### 放熱構成 2.3-1 での測定結果を以下に示します。

T <sub>A</sub> (°C)	製品	波長ランク	I <sub>F</sub> (A)	V <sub>F</sub> (V)	W(W)	T <sub>S(</sub> °C)	T <sub>J(</sub> °C)
		LIGGE	1.0	3.7	3.7	55	76
		U365	1.4	3.8	5.3	67	97
	NVSU233C-D4	U385	1.0	3.5	3.5	49	69
25	NV3U233C-D4		1.4	3.6	5.0	60	89
25		U395	1.0	3.5	3.5	50	70
			1.4	3.6	5.0	61	90
	NVSU233C NVSU233C-D4	LIAOE	1.0	3.6	3.6	45	66
		U405	1.4	3.8	5.3	55	85

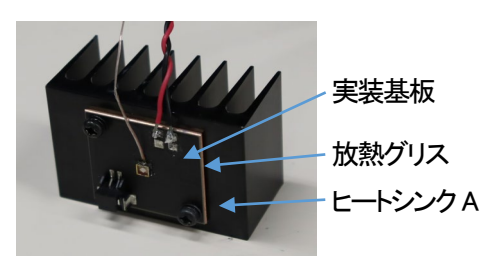


写真3 評価した光源の構成と設置方向(NVSU233C)

この放熱構成では、U365 ランク品で 1.4A を印加した場合においても、T<sub>JMAX</sub> に対して十分に余裕のある結果になります。波長が短くなるほど放熱は厳しくなるため、他の波長製品ではさらに余裕のある結果になります。 次項にヒートシンクのサイズを変更して、温度変化を確認します。



#### 2.3-2. 放熱構成 LED1 個搭載基板+ヒートシンクB

ヒートシンクB の仕様を以下に示します。

ヒートシンク	材料	サイズ(mm)	ベース厚		フィン		熱抵抗
L-ドランツ	171 <del>1 1</del>	91 <b>/</b> (mm)	(mm)	枚数	サイズ(mm)	配列	(°C/W)
В	アルミ	53 × 53 × t35	4	65	0.8 × 9	13×5	4.25

<sup>•</sup> 放熱グリスの熱伝導率は5.3 W/m•K

#### 放熱構成2.3-2での測定結果を以下に示します。

T <sub>A</sub> (°C)	製品	波長ランク	I <sub>F</sub> (A)	V <sub>F</sub> (V)	W(W)	T <sub>S(</sub> °C)	T <sub>J(</sub> °C)
		LIGGE	1.0	3.7	3.7	49	70
		U365	1.4	3.8	5.3	59	89
	NIVELIANAC-DA	U385	1.0	3.5	3.5	44	65
25	NVSU233C-D4  NVSU233C  NVSU233C-D4		1.4	3.6	5.0	53	83
25		U395	1.0	3.5	3.5	47	67
			1.4	3.6	5.0	57	86
		NVSU233C	1.0	3.6	3.6	42	63
		U405	1.4	3.8	5.3	50	80

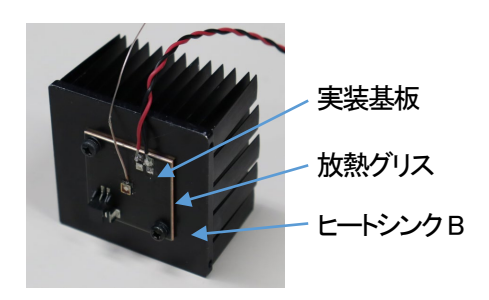


写真4 評価した光源の構成と設置方向

ヒートシンクをAからBへとサイズを大きくすることで放熱性能が良くなり、さらにT」は下がる結果になります。

### 3. UV-B および UV-C 製品例 NCSU434D(U280)

#### 3.1 TJ 算出方法

T」算出には、以下の式を用いております。

 $T_J = T_S + R_{\theta JS} \times W$ 

T<sub>3</sub>: ジャンクション温度 (°C)
T<sub>5</sub>: はんだ接合部温度 (°C)

 $R_{\theta JS}$ : チップから  $T_S$  測定ポイントまでの熱抵抗 (°C/W)

W : 投入電力(W) = I<sub>F</sub>(A) × V<sub>F</sub>(V)

#### 製品仕様を以下に示します。

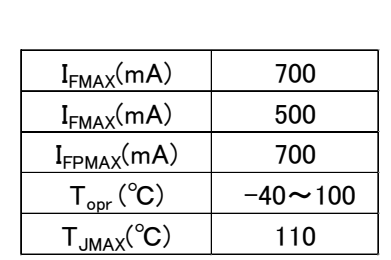
		NCSU	J434D	
項目	条件	U280		
		標準	最大	
R <sub>θ JS</sub> (°C/W)	_	10.2	11.0	
V <sub>F</sub> (V)	I <sub>F</sub> =350mA	5.2	_	

以下計算には R<sub>θ</sub>us は最大値を用いることによって、余裕をもった設計が可能になります。

絶対最大定格(T<sub>S</sub>=25℃)

This document contains tentative information, Nichia may change the contents without notice.





1000 800 (49,700) (80,500) (61,500) (100,169) 0 20 40 60 80 100 120 T<sub>S</sub> (°C)

...—... T<sub>J</sub> ≤90°C

- T<sub>J</sub> ≤110°C

図 5. Ts - 許容順電流特性

I<sub>F</sub>: 順電流 (mA)

I<sub>P</sub>: パルス順電流 (mA)

Im条件は、パルス幅 10ms 以下、デューティー比は 10%以下

T<sub>opr</sub>:動作温度(℃)

#### 3.2 Tsポイント

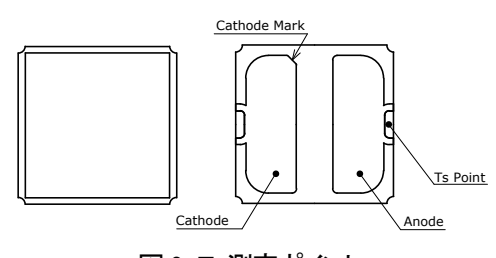


図6 Ts測定ポイント

#### 3.3 放熱構成とT」測定結果

実装基板にLEDを1個搭載し、2種類の放熱構成で駆動した場合のT」を確認します。

#### 3.3-1 放熱構成 LED 1 個搭載基板 + ヒートシンク A

実装基板の仕様を、以下に示します。

銅箔	絶縁層	銅ベース	外形寸法
(mm)	(mm)	(mm)	(mm)
0.105	0.120	1.5	30×30

銅箔及び銅ベースの熱伝導率は390 W/m・K、絶縁層の熱伝導率は4.5 W/m・K



写真 5 実装状態

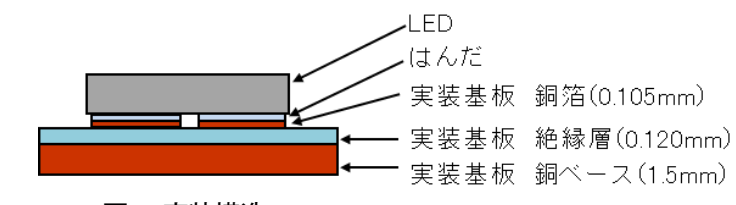


図7 実装構造

ヒートシンクAの仕様を以下に示します。



L 183.A	トシンク 材料 サイズ(mm)		ベース厚		フィン		
ヒートシング	材料	サイス(mm)	(mm)	枚数	サイズ(mm)	配列	(°C/W)
Α	アルミ	$50 \times 38 \times t25$	5	8	1 × 38	8 × 1	5.7

放熱グリスの熱伝導率は5.3 W/m・K

#### 3.3-1 放熱構成での測定結果を以下の表に示します。

T <sub>A</sub> (°C)	製品	波長ランク	I <sub>F</sub> (A)	V <sub>F</sub> (V)	W(W)	T <sub>S(</sub> °C)	T <sub>J(</sub> °C)
			0.35	5.2	1.8	41	61
25	NCSU434D	U280	0.50	5.4	2.7	48	78
			0.70	5.7	4	57	101

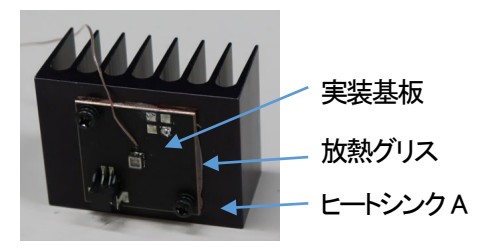


写真 6 評価した光源の構成と設置方向

この放熱構成では、0.35、0.5A を印加した場合においては、 $T_{MAX}$ に対して十分に余裕のある結果になります。 0.7A を印加した場合  $T_S$  は 57°C、 $T_{MAX}$ の 90°Cを超えているため、ヒートシンクのサイズを変更して、温度変化を確認します

#### 3.3-2 放熱構成 LED 1 個搭載基板 + ヒートシンク C

ヒートシンクCの仕様を以下に示します。

ヒートシンク	- LSO.カ ++**! サノブ(			フィン			熱抵抗
ヒートシング	材料	サイス(mm)	(mm)	枚数	サイズ(mm)	配列	(°C/W)
С	アルミ	$80 \times 80 \times t25$	7	400	2 × 2	20 × 20	1.06

放熱グリスの熱伝導率は5.3 W/m・K



写真 7 評価した光源の構成と設置方向

#### 3.3-2 放熱構成での測定結果を、以下の表に示します。

T <sub>A</sub> (°C)	製品	波長ランク	I <sub>F</sub> (A)	V <sub>F</sub> (V)	W(W)	T <sub>S(</sub> °C)	T <sub>J(</sub> °C)
	NCSU434D	U280	0.35	5.2	1.8	35	55
25			0.50	5.4	2.7	39	69
			0.70	5.7	4	45	89

ヒートシンクのサイズを A から C へ大きくすることで放熱性能が良くなり、 $T_J$ は 0.7A を印加した場合  $T_S$ は 45°C、 $T_J$ は 89°Cまで下がり、 $T_{JMAX}$ の 90°Cを超えない設計が可能になります。



### 4. 注意事項

自然空冷ヒートシンクは、設置方向によって放熱性能が異なります。温まった空気が溜まると、Ts が上昇するため、空気の動きを妨げないことが重要です。弊社では、フィンを垂直にしてヒートシンクを設置しており、

温まった空気が上部から排出されるようにしています(図 8 参照)。実機設計の際は、フィンの向きにも注意して、ヒートシンクを設置してください。



写真 8 フィン垂直 (弊社設置の向き)



写真 9 フィン下向き (空気の流れを妨げた向き)

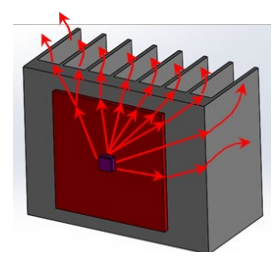


図8 フィンを垂直に設置したときの 熱経路イメージ図

### 5. まとめ

実装LED数が1個の場合には、ヒートシンクのみの空冷仕様において、T<sub>JMAX</sub>に対して余裕があるかどうかを確認します。また、ヒートシンクサイズの大きい方が、よりTJを抑えることができます。

複数個の LED が高密度実装されている場合では、隣り合う LED 同士間で熱の干渉が発生し、放熱性が悪くなります。そのため、ピッチ幅を十分に確保するか、あるいはヒートシンクサイズの拡大、またはファンを付けるなどして、十分に冷却できていることを確認いただいた上でご使用ください。

本アプリケーションノートでは、NVSU233C、NVSU233C-D4及びNCSU434Dの放熱設計について、実験結果を交えて解説しました。本書での評価結果は一例であり、LEDの品種及びお客様の使用条件、仕様環境によって値が異なる可能性がありますので、ご使用になられる LED の最新の仕様書を元にお客様にて充分な検証を行って下さい。

#### 備考

NVSU233C 及び NVSU233C-D4 では、絶対最大定格を、 $I_F$ は 1.4A、 $T_J$ は 130°Cと定めています。また NCSU434D では絶対最大定格を、 $I_F$ =0.5A の場合  $T_J$ は 110°C、 $I_F$ =0.7A の場合  $T_J$ は 90°Cと定めています。いずれかを超える条件でのご使用は保証不可となりますのでご注意下さい。



### <免責事項>

本書は、弊社が管理し提供している参考技術文書です。

本書を利用される場合は、以下の注意点をお読みいただき、ご了承いただいた上でご利用ください。

- ・本書は弊社が参考のために作成したものであり、弊社は、本書により何らの保証をも提供するものではありま せん。
- ・本書に記載されている情報は、製品の代表的動作及び応用例を示したものであり、その使用に関して、弊社及 び第三者の知的財産権その他の権利の保証又は実施権の許諾を行うものではありません。
- ・本書に記載されている情報については正確を期すべく注意を払っておりますが、弊社は当該情報の完全性、正 確性及び有用性を一切保証するものではありません。また、当該情報を利用、使用、ダウンロードする等の行為 に関連して生じたいかなる損害についても、弊社は一切の責任を負いません。
- ・弊社は、本書の内容を事前あるいは事後の通知なく変更する場合がありますのでご了承ください。
- ・本書に記載されている情報等に関する著作権及びその他の権利は、弊社又は弊社に利用を許諾した権利者に 帰属します。弊社から事前の書面による承諾を得ることなく、本書の一部又は全部をそのままあるいは改変して 転載、複製等することはできません。

http://www.nichia.co.jp

日亜化学工業株式会社 774-8601 徳島県阿南市上中町岡491番地 Phone: 0884-22-2311 Fax: 0884-21-0148